

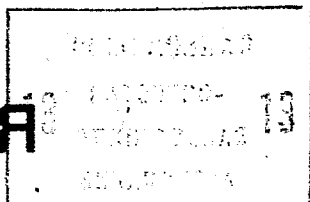


СОЮЗ СОВЕТСКИХ  
СОЦИАЛИСТИЧЕСКИХ  
РЕСПУБЛИК

(19) SU <sub>изд</sub> 1008904 A

ЗСД Н 03 К 13/20

ГОСУДАРСТВЕННЫЙ КОМИТЕТ СССР  
ПО ДЕЛАМ ИЗОБРЕТЕНИЙ И ОТКРЫТИЙ



## ОПИСАНИЕ ИЗОБРЕТЕНИЯ К АВТОРСКОМУ СВИДЕТЕЛЬСТВУ

(21) 3357922/18-21

(22) 23.11.81

(46) 30.03.83. Бюл. №12

(72) А.Н. Морозевич

(71) Минский радиотехнический институт

(53) 621.317 (088.8)

56 1. Смеляков В.В. Цифровая измерительная аппаратура инфракрасных частот. М., "Энергия", 1975, с. 37, рис. 2-1.

2. Авторское свидетельство СССР № 546102, кл. Н 03 К 13/20, 1977.

(54) (57) 1. УСТРОЙСТВО ДЛЯ ПРЕОБРАЗОВАНИЯ ЧАСТОТЫ, содержащее последовательно соединенные блок управления и первый элемент И, последовательно соединенные первый и второй счетчики, дешифратор и блок элементов И, вторые входы которого подключены к выходам делителя, вход которого подключен к импульсному выходу блока управления, а выходы блока элементов И подключены к входам первого элемента ИЛИ, выход которого подключен к второму входу первого элемента И и первому входу второго элемента И, второй вход которого подключен к первому входу третьего элемента И и второму выходу блока управления, третий выход которого подключен к первому входу второго элемента ИЛИ, при этом выход первого счетчика подключен к своему входу предварительной записи, входы установки в нуль первого и второго счетчиков подключены к выходу установки нуля блока управления, что характеризуете тем, что, с целью повышения точности преобразования частоты, в него дополнительно введены дешифратор, а также счетчик и счетчик с управляемым коэффициентом пересчета, входы установки в нуль которых подключены к выходу установки нуля блока управления, причем управляющий вход дополнительного дешифратора подключен к четвертому выходу блока управления, выход дополнительного дешифратора подключен к первому входу первого счетчика, а его информационные входы подключены к информационным выходам счетчика с управляемым коэффициентом пересчета, вход которого подключен к выходу первого элемента И, а его управляющий выход подключен к второму входу первого счетчика, информационные выходы которого подключены к информационным входам дополнительного счетчика, первый управляющий вход которого подключен к выходу второго элемента И, а второй управляющий вход подключен к выходу второго элемента ИЛИ, второй вход которого подключен к выходу дополнительного счетчика и второму входу третьего элемента И.

2. Устройство по п. 1, отличающееся тем, что блок управления содержит компаратор, два элемента И, два триггера, два формирователя, генератор импульсов, выход которого является импульсным выходом блока управления, а выход компаратора подключен к первому входу первого элемента И, выход которого подключен к первому входу первого триггера, а второй вход подключен к нулевому выходу второго триггера и первому входу второго элемента И, выход которого является четвертым выходом

изд 1008904 A

блока управления, а второй вход подключен к первому входу второго триггера и нулевому выходу первого триггера, единичный выход которого является первым выходом управления блока и подключен к входу первого формирователя, выход которого является выходом установки нуля блока

управления, третьим выходом которого является выход второго формирователя, вход которого подключен к единичному выходу второго триггера и является вторым выходом блока управления, второй вход второго триггера подключен к второму входу первого триггера.

## 1

Изобретение относится к измерительной технике и может быть использовано в цифровых устройствах, занятых обработкой (вычислением интегральных характеристик) аналоговых сигналов, а также в качестве измерительного прибора, позволяющего измерять период входных сигналов и вырабатывать последовательность импульсов с частотой следования, обратно пропорциональной периоду входного сигнала.

Известно устройство, содержащее генератор эталонной частоты, формирующее устройство, блок управления, управляемые вентили, делители частоты, регистр и схему переноса, которые позволяют выполнить функции преобразователя период-частота [1].

Однако в указанном устройстве наличие одного (неуправляемого) источника опорной частоты значительно сужает частотный диапазон входных сигналов. Кроме того, указанным устройствам присущи большие погрешности, уменьшение значений которых требует значительного сравнимого с объемом основного устройства дополнительного оборудования.

Наиболее близким к предлагаемому является устройство, содержащее входной блок (блок управления), три элемента И, первый и второй счетчики, дешифратор, блок элементов И, делитель, два элемента ИЛИ, и второй блок элементов И [2].

Известное устройство позволяет обеспечить постоянство относительной погрешности преобразования в достаточно широком частотном диапазоне.

Недостатки известного устройства - наличие инструментальной ошибки, воз-

## 2

никающей вследствие конечного времени распространения сигнала из-за иска-  
жения состояния делителя при соотв-  
ствующих его установках (запись до-  
полнительного кода в младшие разря-  
ды и др.); ошибка преобразования  
ограничена сверху в каждом том диапа-  
зоне весом младшего разряда первого  
счетчика, ввиду конструктивных  
особенностей затруднено изменение  
коэффициентов передачи преобразова-  
теля в широких пределах.

Указанные недостатки существенно снижают точность преобразований и область применения известных уст-  
ройств.

Цель изобретения - повышение точ-  
ности преобразования частоты.

Поставленная цель достигается тем, что в устройство для преобразования частоты, содержащее последова-  
тельно соединенные блок управления и первый элемент И, последовательно соединенные первый и второй счетчики, дешифратор и блок элементов И, вто-  
рые входы которого подключены к вы-  
ходам делителя, вход которого под-  
ключен к импульсному выходу блока  
управления, а выходы блока элемéнтов  
И подключены к входам первого элемен-  
та ИЛИ, выход которого подключен к  
второму входу первого элемента И и  
первому входу второго элемента И,  
второй вход которого подключен к  
первому входу третьего элемента И  
и второму выходу блока управления,  
третий выход которого подключен  
к первому входу второго элемента  
ИЛИ, при этом выход первого счетчика  
подключен к своему входу предвари-  
тельной записи, а входы установки  
в ноль первого и второго счетчиков

Подключены к выходу установки нуля блока управления, дополнительно введены дешифратор, а также счетчик и счетчик с управляемым коэффициентом пересчета, входы установки в ноль которых подключены к выходу установки нуля блока управления, причем управляющий вход дополнительного дешифратора подключен к четвертому выходу блока управления, выход дополнительного дешифратора подключен к первому входу первого счетчика, а его информационные входы подключены к информационным выходам счетчика с управляемым коэффициентом пересчета, вход которого подключен к выходу первого элемента И, а его управляющий выход подключен к второму входу первого счетчика, информационные выходы которого подключены к информационным входам дополнительного счетчика, первый управляющий вход которого подключен к выходу второго элемента И, а второй управляющий вход подключен к выходу второго элемента ИЛИ, второй вход которого подключен к выходу дополнительного счетчика и второму входу третьего элемента И.

Кроме того, блок управления содержит компаратор, два элемента И, два триггера, два формирователя и генератор импульсов, выход которого является импульсным выходом блока управления, а выход компаратора подключен к первому входу первого элемента И, выход которого подключен к первому входу первого триггера, а второй вход подключен к нулевому выходу второго триггера и первому входу второго элемента И, выход которого является четвертым выходом блока управления, а второй вход подключен к первому входу второго триггера и нулевому выходу первого триггера, единичный выход которого является первым выходом блока управления и подключен к входу первого формирователя, выход которого является выходом установки нуля блока управления, третьим выходом которого является выход второго формирователя, вход которого подключен к единичному выходу второго триггера и является вторым выходом блока управления, второй вход второго триггера подключен к второму входу первого триггера.

На фиг. 1 представлена структурная схема предлагаемого устройства; на фиг. 2 - временная диаграмма ос-

новных сигналов; на фиг. 3 - конкретная реализация блока управления.

Устройство (фиг. 1) содержит блок 1 управления, первый элемент И 2, 5 первый 3 и второй 4 счетчики, дешифратор 5, блок 6 элементов И, делитель 7, первый элемент ИЛИ 8, второй элемент И 9, третий элемент И 10, второй элемент ИЛИ 11, дополнительный счетчик 12, счетчик 13 с управляемым коэффициентом пересчета, дополнительный дешифратор 14. Входной блок 1 содержит (фиг. 3) генератор 15 импульсов, компаратор 16, элемент И 17, 15 первый триггер 18, второй триггер 19, элемент И 20, первый формирователь 21, формирователь 22 и кнопку 23.

Устройство работает следующим 20 образом.

В исходном состоянии все счетчики 3, 4, 12 и 13 (фиг. 1) находятся в нулевом состоянии, а на выходах блока 1 управления - запрещающие потенциалы. На вход делителя 7 поступают импульсы опорной частоты  $f_0$ . С выходов делителя 7 на входы блока 6 элементов И поступают импульсы с частотой  $f_0$ ,  $f_0/2$ ,  $f_0/4$  и т.д.

При первом после сигнала "Пуск" переходе значения входного сигнала (фиг. 2. а) через ноль из отрицательных значений в положительные на первом выходе блока 1 (фиг. 2. в) появляется разрешающий потенциал, открывающий элемент И 2 по первому входу. В первый момент времени после сигнала "Пуск" код во втором счетчике 4 - нулевой. Дешифратор 5 подает разрешающий потенциал на первый вход первого (младшего) элемента И из блока 6, а на остальные элементы И блока 6 - запрещающие потенциалы. Поэтому на первый элемент ИЛИ 8 будет поступать самая высокая частота  $f_0$  из набора выходных частот делителя 7 опорной частоты  $f_0$ . С выхода первого элемента ИЛИ 8 (фиг. 2. г) через открытый элемент И 2 поступают импульсы на вход счетчика 13 с управляемым коэффициентом К пересчета. Коэффициент К пересчета счетчика 13 определяет коэффициент передачи устройства в целом. При поступлении на вход счетчика 13 К импульсов с частотой  $f_0$  происходит его переполнение, при этом заносится "1" в первый счетчик 3. Таким образом, на второй вход

счетчика 3 поступают импульсы с частотой  $f_0/k$ . При поступлении на второй вход счетчика 3  $N$  импульсов (выбирается из условия достижения необходимой точности измерения периода в каждом поддиапазоне) происходит его переполнение. При переполнении счетчика 3 заносится "1" во второй счетчик 4, а в первый счетчик 3 заносится при этом код, равный половине его емкости. Последнее необходимо для учета части измеряемого периода, равной по величине  $N K_0/f_0$ . При коде 00...01 во втором счетчике 4 на первом входе второго элемента И из блока 15 появляется разрешающий потенциал. Таким образом, на вход первого счетчика 3 поступают импульсы, частота следования которых вдвое меньше предыдущей частоты, т.е.  $f_0/2k$ . При каждом очередном переполнении первого счетчика 3 код во втором счетчике 4 увеличивается на единицу, а в первый счетчик 3 заносится код, равный половине его емкости  $N$ , (при  $N = 2^n$  заносится единица в старший разряд) и частота импульсов, идущих на вход первого счетчика 3 уменьшается в два раза (фиг. 2.н). Так происходит до того момента времени, когда входной сигнал второй раз перейдет через ноль из отрицательных значений в положительные, т.е. когда окончится период  $T_x$  измеряемого сигнала. При этом на первом выходе выходного блока появится запрещающий потенциал, закрывающий первый элемент И 2. На этом заканчивается цикл измерения, в результате которого на счетчиках 3 и 4 сформирован код, пропорциональный периоду  $T_x$  входного сигнала. Причем код  $D_{xi}$  во втором счетчике 4 показывает, в каком поддиапазоне лежит период  $T_x$ , а код  $N_{xi}$  в первом счетчике 3 определяет  $T_x$  внутри поддиапазона. При этом оказывается, что погрешность  $\Delta$  измерения  $T_x$  может достигать единицы младшего разряда. Например, если  $n = 7$ , то  $N = 2^n = 128$  и, следовательно,  $\Delta_{max} = 1/128$ . В счетчике 13 зафиксирован код, равный разности  $T_x - [N_{xi} \cdot 2^{D_{xi}}] K/f_0$ . Для рассмотренного примера  $0 \leq [T_x - (N_{xi} \cdot 2^{D_{xi}}) k/f_0] \leq 1/128$ . Очевидно, что для повышения точности измерения можно провести определение результата в счетчике 3 по условию

$$T_x = T_x + 1^{mp}, \text{ если } \Delta = [T_x - (N_{xi} \cdot 2^{D_{xi}}) k/f_0] \geq 0,5 k/f_0,$$

где  $1^{mp}$  - единица младшего разряда,  $T_x = T_x$ , если  $\Delta = [T_x - (N_{xi} \cdot 2^{D_{xi}}) k/f_0] < 0,5 k/f_0$ .

Однако для дальнейшего преобразования необходимо выполнить обратную коррекцию, т.е. если в счетчике 13 зафиксирован код, равный половине и больше величины  $K$  коэффициента пересчета счетчика 13, то результат в счетчике 3 остается без изменений, а если код в счетчике 13 меньше  $K/2$ , то из содержимого счетчика 3 вычитается единица.

Анализ содержимого счетчика 13 осуществляется дешифратором 14. На выходе дешифратора формируется сигнал вычитания единицы из счетчика 3 сигналом из входного блока (фиг. 2 с) в случае, если код счетчика 13 меньше  $0,5 K$ .

Таким образом, после выполнения шага коррекции в счетчике 3 оказывается код  $N'_x$ , который меньше на единицу (младшего разряда) величины кода  $N_x$ , если  $T_x - N_x < 1^{mp}$ . Причем  $T_x - (N'_x + 1) \leq 0,5/128$ , т.е. погрешность измерения (с учетом единицы младшего разряда) в два раза меньше, чем до коррекции. По окончании шага коррекции на третьем выходе блока 1 (фиг. 2 д) формируется управляющий сигнал, который, проходя через элемент ИЛИ 11, осуществляет перезапись кода из счетчика 3 в счетчик 12. На втором выходе блока 1 (фиг. 2 е) в это же время появляется разрешающий потенциал, открывающий второй элемент И 9 по второму входу. При этом на вычитающий (первый) вход счетчика 12 поступают импульсы с частотой  $f_0/2 \cdot D_{xi}$ , каждый из которых уменьшает содержимое счетчика 12 на единицу. После прихода на счетчик 12 количества импульсов, соответствующего величине  $N'_x + 1$ , произойдет отрицательное переполнение счетчика 12. При этом на выходе счетчика 12 сформируется сигнал, который через открытый элемент И 10 пройдет на выход устройства (фиг. 2 д), а также через элемент ИЛИ 11 на вход счетчика 12. По этому сигналу в счетчик 12 перепишется код из счетчика 3. Далее процесс формирования выходных сигналов происходит аналогично вышеописанному.

Коэффициент передачи устройства определяется как

$$\frac{f_{\text{вых}}}{f_{\text{вх}}} = \frac{f_0 / N_x \cdot 2^{Dx}}{f_0 / N_x \cdot 2^{Dx} \cdot k} = k.$$

Следовательно, число выходных импульсов не зависит от величины периода входного сигнала и определяется лишь коэффициентом пересчета счетчика 13. Как следует из описания функционирования устройства преобразования частоты (фиг. 1) порядок работы его блоков определяется сигналами, формируемыми в блоке 1 управления в соответствии с временной диаграммой (фиг. 2).

Устройство работает следующим образом.

На вход компаратора 16 (фиг. 3) поступает периодический сигнал (фиг. 2 а). В качестве компаратора может быть использован, например, триггер Шmitta. На выходе компаратора 16 формируется также периодический сигнал с тем же периодом, но форма его соответствует сигналам, используемым в цифровых логических элементах. Этот сигнал поступает на первый вход элемента И 17. При нажатии кнопки 23 (формируется сигнал "Пуск") триггеры 18 и 19 устанавливаются в ноль. При этом сигнал с нулевого выхода триггера 19 открывает элемент И 17 для прохождения сигнала с выхода компаратора 16 на первый вход триггера 18. Первый вход триггера 18 является счетным входом, т.е. каждый переход сигнала на этом входе из нуля в единицу переводит триггер 18 в противоположное состояние. Первый после сигнала "Пуск" переход из нуля в единицу указанного сигнала переводит триггер 18 в единичное положение. При этом сигнал на единичном выходе триггера 18 соответствует "1" (фиг. 2 в). В то же время из перехода ноль - единица (передний фронт) формирователь 21 формирует сигнал установки в ноль счетчиков 3, 4, 12 и 13. Таким образом, по переднему фронту входного сигнала сигналом, формируемым блоком 1, все счетчики 3, 4, 12 и 13 устанавливаются в исходное (нулевое) состояние.

В момент окончания первого периода входного сигнала (очередным передним фронтом) триггер 18 переводит-

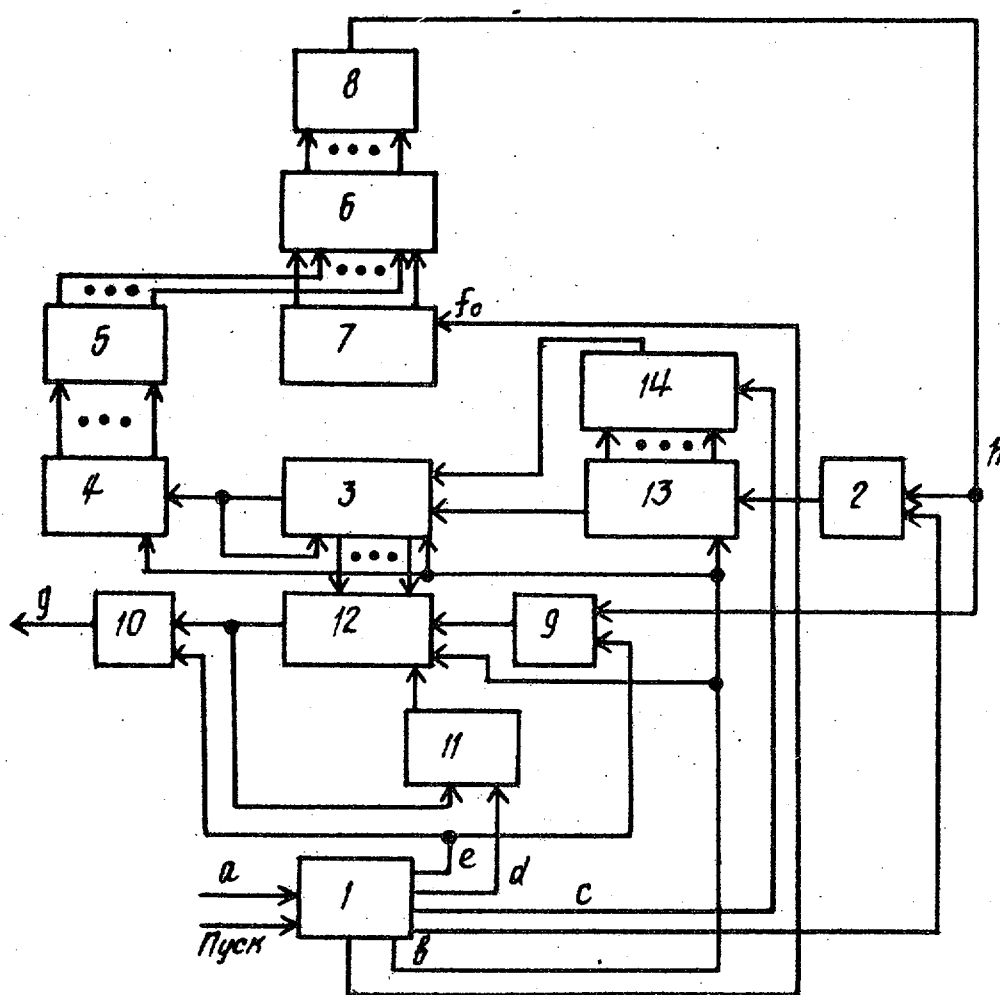
ся в нулевое состояние. Сигнал на его единичном выходе (фиг. 2 в) меняется с единицы на ноль. Сигнал на нулевом выходе триггера 18 изменяется с нуля на единицу. Этот передний фронт сигнала поступает на первый (счетный) вход триггера 19 и переводит его в единичное положение. Сигнал на единичном выходе триггера 19 изменяется с нуля на единицу (фиг. 2 е). Формирователь 22 формирует из этого переднего фронта импульс (фиг. 2 д). На выходе элемента И 20 появляется сигнал в том случае, когда триггеры 18 и 19 находятся в состоянии нуля. Первый раз этот сигнал формируется сразу же после нажатия кнопки, но до формирования сигнала установки счетчиков в ноль, т.е. этот сигнал на работу схемы не влияет. Второй раз на выходе элемента И 20 формируется короткий импульс, длительность которого равна времени задержки сигнала в триггере 19 (фиг. 2 с). Для предлагаемого устройства такая длительность импульса обеспечивает надежную работу устройства. Если же для какой-либо реализации длительность импульса будет недостаточной, то в цепь между нулевым выходом триггера 19 и первым входом элемента И 20 можно ввести элемент задержки. На фиг. 3 этот элемент задержки показан пунктиром. В качестве формирователей 21 и 22, генератора 15 импульсов и счетчика 13 с управляемым коэффициентом пересчета может быть использовано любое из известных устройств.

В качестве делителя 7 может быть использован, например, двоичный счетчик, так как у двоичных счетчиков частота сигнала на выходе каждого последующего триггера в два раза меньше, чем на выходе предыдущего.

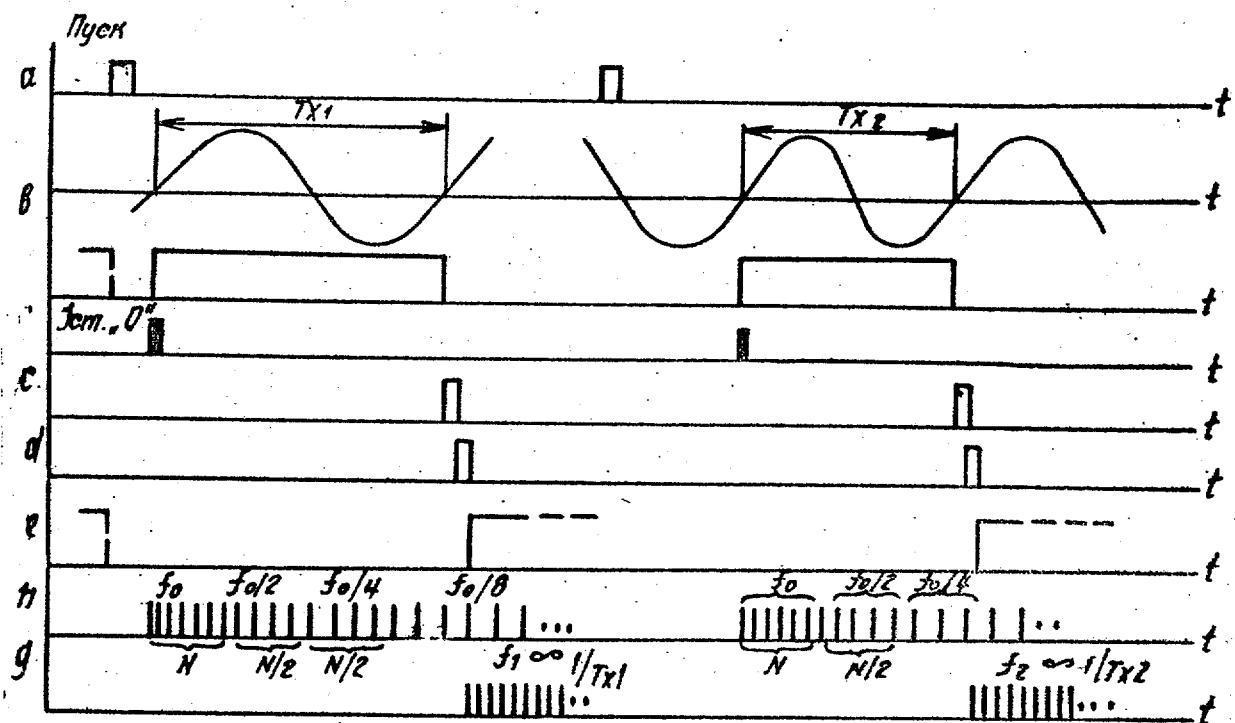
Таким образом, введение новых функциональных блоков и связей позволяет повысить точность преобразования, а именно: уменьшить максимальное значение абсолютной ошибки в два раза, устранить инструментальную ошибку, возникающую вследствие конечного времени распространения сигнала в делителе при соответствующих установках его в исходное состояние (например, запись дополнительного кода в младшие разряды и др.). Кро-

ме того, в предлагаемом устройстве упрощена операция изменения коэффициента передачи устройства преобразо-

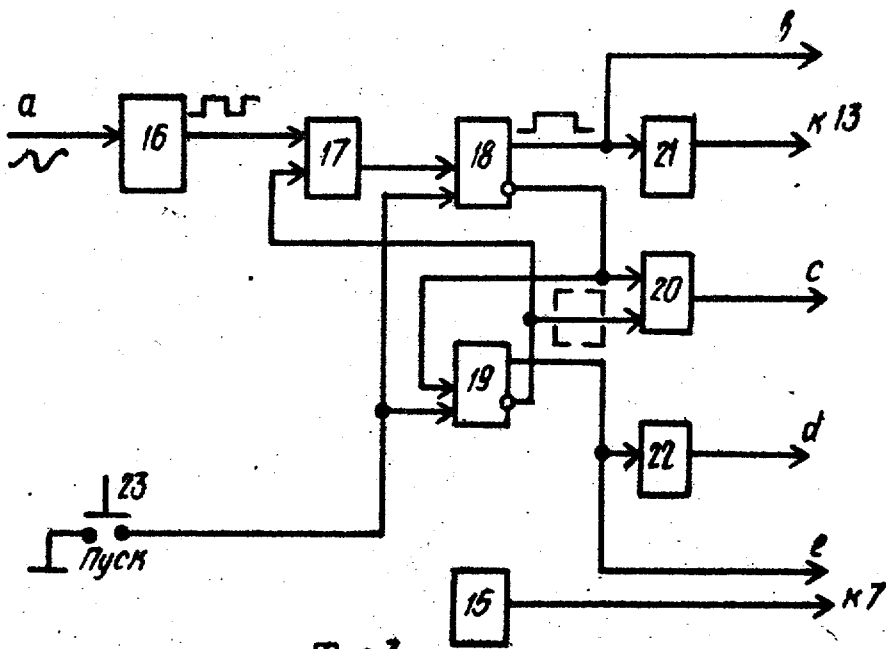
зования частоты и сводится лишь к изменению коэффициента пересчета счетчика 13.



Фиг.1



Фиг.2



Фиг.3

Составитель В. Муляр

Редактор Н. Ковалева

Техред Т. Маточки

Корректор А. Дзятко

Заказ 2359/68

Тираж 934

Подписьное

ВНИИПИ Государственного комитета СССР

по делам изобретений и открытий

113035, Москва, Ж-35, Раушская наб., д. 4/5

Филиал ППП "Патент", г. Ужгород, ул. Проектная, 4